

球面摆的运动方程、数值模拟和实验验证

何广源, 黄迺本

(中山大学 物理系, 广东 广州 510275)

摘要: 讨论了球面摆的运动方程, 分析了摆球运动的周期性. 通过数值模拟和实验验证了摆球在 e_θ 方向的运动具有周期性.

关键词: 球面摆的运动方程; 运动周期; 数值模拟; 实验验证

中图分类号: O 441

文献标识码: A

文章编号: 1000-0712(2006)07-0046-04

对于单摆问题, 绝大多数教科书中都是假设摆球只在一个平面上摆动. 而在一般情况下单摆的摆动并非被约束在某一个平面上, 而是会偏离原来的摆动平面, 即摆球是在一个球面上摆动, 我们称之为球面摆. 在国内, 讨论球面摆的文章不多, 而通过实验观察球面摆运动轨迹的文章更是鲜见. 本文讨论了球面摆的运动方程和运动周期, 并通过实验观察球面摆的运动轨迹, 重点分析摆球的周期性.

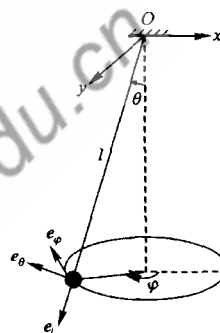


图1 球面摆示意图

1 理论推导

1.1 摆球的运动方程

考虑一个球面摆, 摆绳为一根长度为 l 、不可伸长的柔软细绳, 故 $i=0$. 摆球直径足够小, 因而可视其为质点, 忽略空气阻力及其他摩擦力. 在摆球运动过程中, 摆绳始终绷直. 以绳的悬点为球心, 建立球坐标, 如图1. 由摆球的受力及牛顿定律可得微分方程:

$$e_\varphi \text{ 方向: } (\sin \theta) \ddot{\varphi} + (2 \cos \theta) \dot{\theta} \dot{\varphi} = 0 \quad (1)$$

$$e_\theta \text{ 方向: } (\sin \theta \cos \theta) \ddot{\varphi} - \ddot{\theta} = \frac{g}{l} \sin \theta \quad (2)$$

其中 g 为重力加速度, $0 \leq \theta < \pi/2$.

1.2 摆球在 e_θ 方向的运动方程、相轨线和运动周期

不失一般性, 设初始时刻摆球在 e_θ 方向的摆角为 θ_0 , e_φ 方向的位置为 $\varphi_0 = 0$, 初速度 v_0 沿 e_φ 方向. 由式(1)积分可得

$$\dot{\varphi} = \frac{C}{\sin^2 \theta} \quad (3)$$

其中, C 为积分常数. 将式(3)代入式(2), 可得摆球在 e_θ 方向的运动方程:

$$(\sin^3 \theta) \ddot{\theta} + \frac{g}{l} \sin^4 \theta = C^2 \cos \theta \quad (4)$$

摆球在竖直方向的角动量守恒, 分析可知积分常数 C 为一个与小球竖直方向角动量有关的量, 且有

$$C = \frac{v_0 \sin \theta_0}{l} \quad (5)$$

对式(4)积分一次, 可得摆球在 e_θ 方向运动方程的相轨线方程:

$$\frac{1}{2} \dot{\theta}^2 = \frac{g}{l} \cos \theta - \frac{1}{2} \frac{C^2}{\sin^2 \theta} + C_E \quad (6)$$

由于整个系统机械能守恒, 分析可知积分常数 C_E 与系统的总能量有关, 故有

$$C_E = \frac{v_0^2}{2l^2} - \frac{g \cos \theta_0}{l} \quad (7)$$

式(6)右方是关于 θ 的函数, 记为 $f(\theta)$. 由式(6)可以看出, 只要在区间 $0 \leq \theta < \pi/2$ 中 $f(\theta)$ 的值大于零, 且在区间的两个端点 θ_{\min} 与 θ_{\max} 有 $f(\theta) = 0$, 则摆球在 e_θ 方向运动方程的相轨线是简单的闭合曲线, 即摆球在 e_θ 方向的运动方程具有周期性. 再对式(6)积分, 可得摆球在 e_θ 方向的运动周期为

$$T_{\theta} = 2 \int_{\theta_{\min}}^{\theta_{\max}} \frac{1}{\sqrt{\frac{2g}{l} \cos \theta - \frac{C_E^2}{\sin^2 \theta} + 2C_E}} d\theta \quad (8)$$

其中 C 、 C_E 分别由式(5)和式(7)给出. 由式(8)可知, 对于给定的长度为 l 的摆绳, 摆球在 e_{θ} 方向运动的周期还决定于摆球的初始摆角 θ_0 和初速度 v_0 , 这是非线性振动的特点.

1.3 摆球在 e_{φ} 方向的运动

将式(3)对时间积分, 并联系式(6), 可得摆球在 e_{φ} 方向运动的积分表达式:

$$\varphi = \int \frac{C}{\sin^2 \theta} \frac{1}{\sqrt{\frac{2g}{l} \cos \theta - \frac{C^2}{\sin^2 \theta} + 2C_E}} d\theta \quad (9)$$

若摆球在 e_{θ} 方向运动一个周期, 则在 e_{φ} 方向的移动量为

$$\Delta\varphi_T = 2 \int_{\theta_{\min}}^{\theta_{\max}} \frac{C}{\sin^2 \theta} \frac{1}{\sqrt{\frac{2g}{l} \cos \theta - \frac{C^2}{\sin^2 \theta} + 2C_E}} d\theta \quad (10)$$

由摆球在 e_{θ} 方向的运动具有周期性和式(3)可知, φ 也具有周期性, 且周期为 T_{θ} .

1.4 摆球运动的周期性讨论

记 $\gamma = 2\pi/\Delta\varphi_T$, 若 γ 为有理数, 并记 $\gamma = p/q$ 为其最简约分式 ($p, q \in \mathbb{N}$), 则摆球运动的轨迹是一条闭合曲线, 摆球的运动具有周期性, 且周期为

$$T = pT_{\theta}$$

若 γ 为无理数, 则摆球的运动轨迹是不闭合的, 摆球的运动没有周期性或周期为无穷大.

γ 的值由初始条件决定, 只要初始条件有所改变, γ 就可能由有理数变为无理数, 或由无理数变为有理数. 因此, 摆球运动的周期性对初始条件是十分敏感的, 也就是说, 摆球运动的周期性是不稳定的, 很容易受到外界的影响.

2 摆球运动过程的数值模拟

把式(1)和(2)写成:

$$\begin{aligned} \ddot{\varphi} &= (-2\cot \theta) \dot{\theta} \dot{\varphi} \\ \ddot{\theta} &= (\sin \theta \cos \theta) \dot{\varphi}^2 - \frac{g}{l} \sin \theta \end{aligned}$$

在 mathematica 软件中, 以 $l = 49.3$ cm, $\varphi_0 = 0$, $\dot{\varphi}_0 = 3.39$ rad/s, $\theta_0 = 0.191$ rad, $\dot{\theta}_0 = 0$ 为初始条件, 运用欧拉算法对方程进行数值模拟, 可得到摆球运动的水平投影之轨迹、 e_{θ} 方向运动的相轨线图像、 e_{θ} 方向和 e_{φ} 方向运动的图像, 分别如图 2、图 3、图 4 和图 5

所示. 由图 3 可见, 相轨线为一条闭合曲线, 说明摆球在 e_{θ} 方向的运动具有周期性, 由图 4 也可以得到周期为 $T'_{\theta} = 0.71$ s, 与数值计算相符.

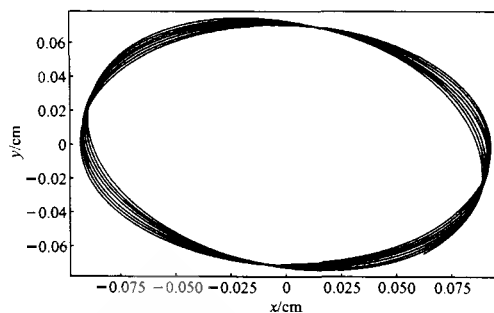


图 2 球面摆轨迹的模拟

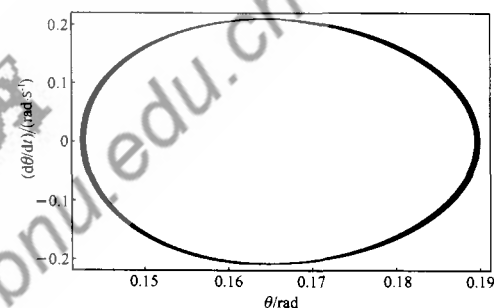


图 3 摆球在 e_{θ} 方向运动的相轨

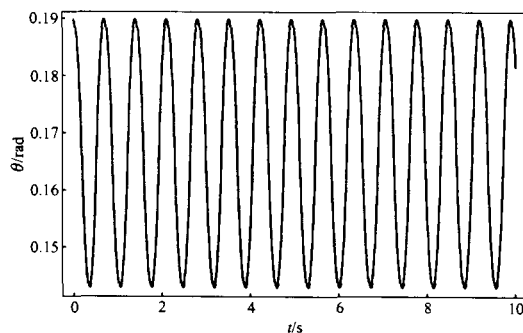


图 4 摆球在 e_{θ} 方向运动的模拟

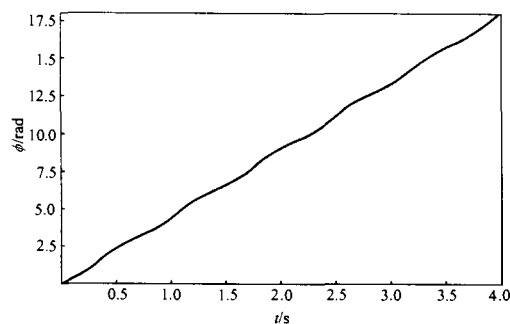


图 5 摆球在 e_{φ} 方向的运动模拟

3 实验验证

3.1 实验装置

实验装置如图 6 所示.

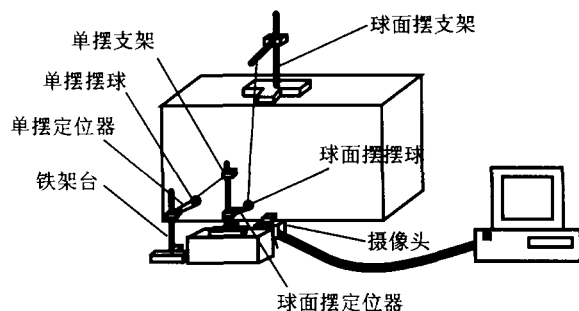


图 6 实验装置

3.2 实验原理

单摆在预定高度自由下落,并在最低点与球面摆碰撞.因为两摆球质量相同,所以两摆球碰撞后交换速度,由此可以确定球面摆摆球的初始速度.通过调整两摆球定位器的位置,可以调节球面摆的位置,使摆球初速度 v_0 的方向与 e_φ 方向相同,并使两摆球刚好发生正碰.用摄像头拍下球面摆摆球的运动过程以供分析.

3.3 实验记录

摆球参数记录如表 1 所示.

表 1 摆球参数记录表

	摆球质量/g	摆球直径/cm	摆绳长/cm	初摆角/rad
球面摆	15.5	2.204	48.2	0.186
单摆	15.6	2.202	58.8	0.131

摄像头软件参数设置:帖率为 10.00 帖/s;输出大小为 320×240 .

由以上数据得球面摆初始数据:

$l = 49.3 \text{ cm}$, $\varphi_0 = 0$, $\dot{\varphi}_0 = 3.39 \text{ rad/s}$, $\theta_0 = 0.191 \text{ rad}$, $\dot{\theta}_0 = 0$ (与数值模拟的初始数据相同).

3.4 实验结果与分析

利用 Windows Media Player 逐帖播放拍下的文件,同时把图像屏幕提取到 Photoshop 中,得到摆球位置的数据.把数据输入 Matlab 软件,作图得到图 7.由图可见,球面摆摆球运动的水平投影之轨迹像缓慢旋转的椭圆轨迹.由摆球的位置数据及悬挂点的位置,分析可得摆球在 e_θ 方向和 e_φ 方向的运动图像,如图 8 和图 9 所示.

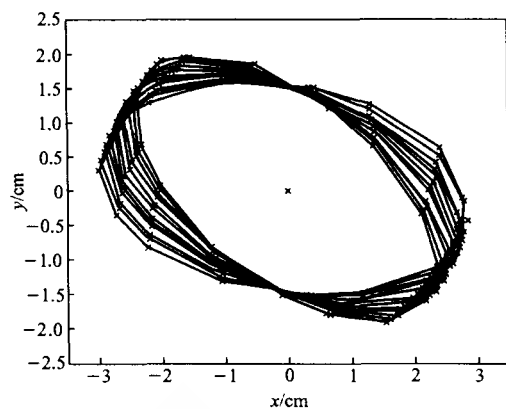


图 7 球面摆水平投影的轨迹

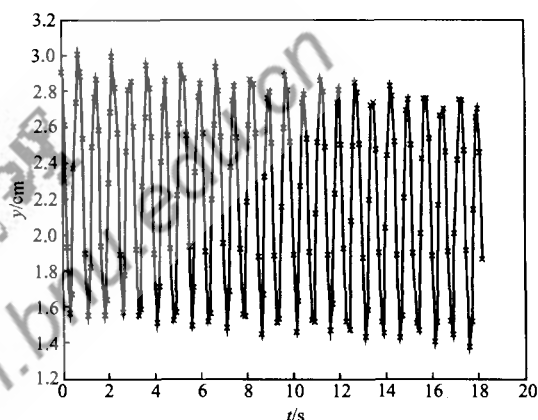


图 8 摆球在 e_θ 方向的运动

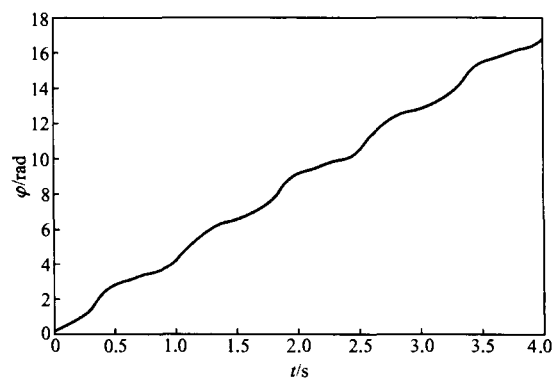


图 9 摆球在 e_φ 方向的运动

图 8 为摆球在 e_θ 方向的运动图像,由图可见, e_θ 方向的运动具有周期性,周期为

$$T_\theta = \frac{18}{24} \text{ s} = 0.75 \text{ s}$$

在式(8)中代入数据并作数值积分得 $T'_\theta = 0.71 \text{ s}$.

实验值的相对误差为

$$E_T = \frac{|T_\theta - T'_\theta|}{T_\theta} = 5.7\%$$

图 8 曲线的极值出现了一大一小起伏,这是由

于摄像头的光学透镜的不对称引起的,而曲线的整体下降则是存在空气阻尼所引起的.图 9 为摆球在 e_φ 方向的运动图像,分析可知,摆球在 e_φ 方向运动一个周期($T_\theta = 0.75$ s)时,在 e_φ 方向移动量的平均值为

$$\Delta\varphi_T = 3.16 \text{ rad}$$

在式(10)中代入数据并进行数值积分得

$$\Delta\varphi'_T = 3.17 \text{ rad}$$

实验值的相对误差为

$$E_{\Delta\varphi_T} = \frac{|\Delta\varphi_T - \Delta\varphi'_T|}{\Delta\varphi'_T} = 0.4\%$$

4 理论计算、数值模拟与实验结果的比较

实验得到的摆球的轨迹(图 7)与数值模拟得到的轨迹(图 2)形状相同,在 e_θ 方向运动的图像(图 4 与图 8)也基本相符.而实验得到的 e_θ 方向的运动周期与理论计算得到的结果也较为接近.说明球面摆摆球的运动与式(1)和式(2)所描述的运动相符合.实验得到的摆球在 e_θ 方向的周期与计算值的相对误差为 $E_T = 5.7\%$,之所以出现这么大的误差,主要原因是球面摆的摆球与单摆的摆球碰撞后,在刚开始运动时,会与其定位器产生摩擦,使摆球的初速度

比预设值小,从而导致其周期比预计值偏大.

5 结论

球面摆的运动是非线性的二维摆动.我们从理论和实验上均得到结论:球面摆的摆球在 e_θ 方向的运动具有周期性,但是,摆球的二维运动不一定具有周期性.仅在 γ 为有理数的条件下,摆球的二维运动才具有周期性.而且由于球面摆很容易受到外部干扰, γ 值很不稳定,其值会不断在有理数和无理数之间变化,使得摆球的周期性很不稳定.

参考文献:

- [1] 陆同兴.非线性物理概论[M].合肥:中国科学技术大学出版社,2002.
- [2] 莫克威.偏摆对单摆振动周期的影响[J].物理实验,1996,16(4):189.
- [3] 赵凯华,罗蔚茵.新概念物理教程:力学[M].北京:高等教育出版社,2000.
- [4] 向裕民.摆球的二维摆动[J].重庆大学学报,2000,23(6):49~52.
- [5] 潘武明.牛顿动力学方程的数值解法[J].高等函授学报,2002,15(1):22~23.

The equation of motion, numerical calculation and experiment for two-dimensional vibration

HE Guang-yuan, HUANG Nai-ben

(Department of Physics, Sun Yat-sen University, Guangzhou 510275, China)

Abstract: The equation of motion for a spherical surface vibration is studied, and the period is analysed. The period of the e_θ direction motion of the vibration is also verified by numerical calculation and experiment.

Key words: equation of motion for the spherical surface vibration; periodicity of motion; numerical calculation; experiment

(上接 24 页)

Thermal equilibrium of system with negative heat capacity

YANG Xiao-rong¹, GUAN Jing²

(1. Science College of Tibet University, Lhasa 850000, China;

2. Department of Physics, Beijing Normal University, Beijing 100875, China)

Abstract: Making a postulate for instability of system with negative heat capacity, for example black hole, mentioned in "Mechanics of new concept physics" and "Heat of new concept physics".

Key words: black hole; system with negative heat capacity; stable thermal equilibrium